Modularity ratio for 27 graph−based clusters in human NAc (n=20)
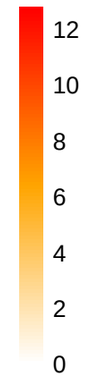
	1	2	3	4	5	6	7	8	9	10	11	12	13	14	15	16	17	18	19	20	21	22	23	24	25	26	27
1	2.75	0.88	0.00	0.00	0.00	0.00	0.00	0.00	0.00	0.00	0.01	0.00	0.00	0.00	0.00	0.00	0.00	0.00	0.00	0.00	0.00	0.00	0.00	0.00	0.00	0.00	0.00
2	NaN	6.01	0.00	0.00	0.00	0.00	0.00	0.00	0.00	0.00	0.02	0.00	0.00	0.00	0.00	0.00	0.00	0.00	0.00	0.00	0.00	0.00	0.00	0.00	0.00	0.00	0.00
3	NaN	NaN	3.49	0.00	0.85	0.00	0.23	0.00	0.00	0.01	0.00	0.00	0.07	0.78	0.01	0.00	0.22	0.16	0.00	0.10	0.00	0.00	0.00	0.00	0.01	0.04	0.00
4	NaN	NaN	NaN	4.97	0.00	0.00	0.00	0.00	0.01	0.00	0.01	0.00	0.00	0.00	0.00	0.00	0.00	0.00	0.00	0.15	0.00	0.00	0.00	0.00	0.00	0.00	0.00
5	NaN	NaN	NaN	NaN	3.10	0.00	0.08	0.00	0.00	0.00	0.00	0.00	0.25	0.75	0.00	0.00	0.05	0.11	0.00	0.01	0.00	0.00	0.00	0.00	0.01	0.00	0.00
6	NaN	NaN	NaN	NaN	NaN	4.49	0.00	0.00	0.01	0.00	0.01	0.00	0.00	0.00	0.00	0.01	0.00	0.00	0.00	0.01	0.00	0.01	0.00	0.00	0.00	0.01	0.58
7	NaN	NaN	NaN	NaN	NaN	NaN	3.61	0.00	0.00	0.00	0.00	0.00	0.75	0.03	0.00	0.00	0.79	0.00	0.00	0.00	0.00	0.00	0.00	0.00	0.00	0.00	0.00
8	NaN	NaN	NaN	NaN	NaN	NaN	NaN	7.46	0.01	0.00	0.00	0.00	0.00	0.00	0.00	0.49	0.00	0.00	0.00	0.00	0.00	0.00	0.00	0.00	0.00	0.00	0.00
9	NaN	NaN	NaN	NaN	NaN	NaN	NaN	NaN	3.61	0.00	0.01	0.00	0.00	0.00	0.00	0.61	0.00	0.00	0.00	0.00	0.00	0.00	0.00	0.00	0.00	0.00	0.00
10	NaN	NaN	NaN	NaN	NaN	NaN	NaN	NaN	NaN	4.09	0.00	0.00	0.00	0.00	0.00	0.00	0.00	0.00	0.91	0.01	0.00	0.00	0.00	0.00	0.01	0.01	0.00
11	NaN	NaN	NaN	NaN	NaN	NaN	NaN	NaN	NaN	NaN	7.95	0.00	0.00	0.00	0.00	0.00	0.01	0.00	0.00	0.32	0.00	0.00	0.00	0.00	0.00	0.00	0.00
12	NaN	NaN	NaN	NaN	NaN	NaN	NaN	NaN	NaN	NaN	NaN	6.26	0.00	0.00	0.00	0.00	0.00	0.00	0.00	0.00	0.02	0.09	0.00	0.02	0.00	0.10	0.00
13	NaN	NaN	NaN	NaN	NaN	NaN	NaN	NaN	NaN	NaN	NaN	NaN	3.21	0.05	0.00	0.00	0.79	0.08	0.00	0.00	0.00	0.00	0.00	0.00	0.00	0.00	0.00
14	NaN	NaN	NaN	NaN	NaN	NaN	NaN	NaN	NaN	NaN	NaN	NaN	NaN	4.96	0.00	0.00	0.42	0.05	0.00	0.02	0.00	0.00	0.00	0.00	0.00	0.00	0.00
15	NaN	NaN	NaN	NaN	NaN	NaN	NaN	NaN	NaN	NaN	NaN	NaN	NaN	NaN	6.02	0.00	0.32	0.00	0.00	0.00	0.00	0.00	0.00	0.00	0.00	0.04	0.00
16	NaN	NaN	NaN	NaN	NaN	NaN	NaN	NaN	NaN	NaN	NaN	NaN	NaN	NaN	NaN	6.61	0.00	0.00	0.00	0.00	0.00	0.00	0.00	0.00	0.00	0.00	0.00
17	NaN	NaN	NaN	NaN	NaN	NaN	NaN	NaN	NaN	NaN	NaN	NaN	NaN	NaN	NaN	NaN	4.26	0.08	0.00	0.00	0.00	0.00	0.00	0.00	0.00	0.01	0.00
18	NaN	NaN	NaN	NaN	NaN	NaN	NaN	NaN	NaN	NaN	NaN	NaN	NaN	NaN	NaN	NaN	NaN	5.40	0.01	0.21	0.00	0.01	0.00	0.00	0.05	0.18	0.00
19	NaN	NaN	NaN	NaN	NaN	NaN	NaN	NaN	NaN	NaN	NaN	NaN	NaN	NaN	NaN	NaN	NaN	NaN	6.42	0.00	0.03	0.00	0.00	0.00	0.04	0.15	0.00
20	NaN	NaN	NaN	NaN	NaN	NaN	NaN	NaN	NaN	NaN	NaN	NaN	NaN	NaN	NaN	NaN	NaN	NaN	NaN	8.55	0.00	0.00	0.00	0.00	0.00	0.58	0.00
21	NaN	NaN	NaN	NaN	NaN	NaN	NaN	NaN	NaN	NaN	NaN	NaN	NaN	NaN	NaN	NaN	NaN	NaN	NaN	NaN	8.04	0.00	0.00	0.00	0.01	0.48	0.00
22	NaN	NaN	NaN	NaN	NaN	NaN	NaN	NaN	NaN	NaN	NaN	NaN	NaN	NaN	NaN	NaN	NaN	NaN	NaN	NaN	NaN	6.18	0.02	0.00	0.00	0.22	0.00
23	NaN	NaN	NaN	NaN	NaN	NaN	NaN	NaN	NaN	NaN	NaN	NaN	NaN	NaN	NaN	NaN	NaN	NaN	NaN	NaN	NaN	NaN	10.00	0.00	0.00	0.08	0.00
24	NaN	NaN	NaN	NaN	NaN	NaN	NaN	NaN	NaN	NaN	NaN	NaN	NaN	NaN	NaN	NaN	NaN	NaN	NaN	NaN	NaN	NaN	NaN	8.72	0.01	0.80	0.00
25	NaN	NaN	NaN	NaN	NaN	NaN	NaN	NaN	NaN	NaN	NaN	NaN	NaN	NaN	NaN	NaN	NaN	NaN	NaN	NaN	NaN	NaN	NaN	NaN	6.80	0.70	0.00
26	NaN	NaN	NaN	NaN	NaN	NaN	NaN	NaN	NaN	NaN	NaN	NaN	NaN	NaN	NaN	NaN	NaN	NaN	NaN	NaN	NaN	NaN	NaN	NaN	NaN	6.78	0.00
27	NaN	NaN	NaN	NaN	NaN	NaN	NaN	NaN	NaN	NaN	NaN	NaN	NaN	NaN	NaN	NaN	NaN	NaN	NaN	NaN	NaN	NaN	NaN	NaN	NaN	NaN	12.63